

**FAG****2317-K-M-C3**

Rodamiento oscilante de bolas

Self-aligning ball bearing 23..-K-M, tapered bore taper 1:12, solid brass cage

Información técnica



Variante de su producto actual

Tipo de agujero	K	Cónico, conicidad 1:12
Obturaciones	Sin	Sin
Jaula	M	Jaula maciza de latón, guiada por bolas
Clase de tolerancia	PN	Tolerance class PN, acc. to DIN 620
Juego radial del rodamiento	C3 (Group 3)	Internal clearance larger than CN
Lubricante	Sin	Sin

Medidas principales y datos de rendimiento

d	85 mm	Diámetro del agujero
D	180 mm	Diámetro exterior
B	60 mm	Anchura
C_r	143.000 N	Capacidad de carga dinámica, radial
C_{0r}	51.000 N	Capacidad de carga estática, radial
C_{ur}	2.850 N	Límite de carga por fatiga, radial
n_G	5.400 1/min	Velocidad límite de rotación
n_{gr}	5.200 1/min	Velocidad de referencia
$\approx m$	6,943 kg	Peso



Medidas de montaje

$d_{a \min}$	99 mm	Diámetro mínimo resalte del eje
$d_{a \max}$	106 mm	Diámetro máximo del resalte del eje
$D_{a \max}$	166 mm	Diámetro máximo del resalte del alojamiento
$d_{b \min}$	94 mm	Diámetro mínimo de la cavidad del casquillo
$B_{a \min}$	7 mm	Anchura mínima de la cavidad del casquillo
$r_{a \max}$	2,5 mm	Radio máximo de garganta

Medidas

r_{\min}	3 mm	Medidas mínimas del chaflán
D_1	152,21 mm	Diámetro del resalte del anillo exterior
d_1	114,44 mm	Diámetro del resalte del anillo interior

Rango de temperatura

T_{\min}	-30 °C	Temperatura mín. de funcionamiento
T_{\max}	150 °C	Temperatura máx. de funcionamiento

Factores de cálculo

e	0,37	Valor límite de F_a/F_r para la aplicabilidad de dif. Valores de los factores X e Y
Y_1	1,68	Factor de carga axial dinámica
Y_2	2,61	Factor de carga axial dinámica
Y_0	1,76	Factor de carga axial estática



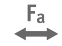





Información adicional

H2317

Manguito de fijación



Características

-  Carga radial
-  Carga axial en un sentido
-  Carga axial en ambos sentidos
-  Lubricación con grasa
-  Lubricación con aceite
-  No obturado
-  Errores de alineación estáticos
-  Errores de alineación dinámicos